

4 Geometrias tridimensionais

4.1

\mathbb{E}^3

Já sabemos algumas coisas sobre \mathbb{E}^3 . O grupo de isometrias de \mathbb{E}^3 é isomorfo à $G = O(3) \times \mathbb{R}^3$, e diferentemente de \mathbb{E}^2 , os subgrupos de isometrias discretos que agem livremente não são diétrais (gerado por dois elementos), isto é, gerado por apenas dois elementos. Uma isometria de \mathbb{E}^3 que preserva a orientação é

- ou uma translação;
- ou uma rotação em torno de um eixo;
- ou uma rotação seguida de uma translação.

Além dessas existem mais quatro tipos de isometrias que não preservam a orientação.

Estamos, como sempre, interessados em subgrupos discreto de G que agem livremente. O subgrupo gerado por três translações é isomorfo a \mathbb{Z}^3 é um exemplo e o quociente

$$\mathbb{E}^3/\mathbb{Z}^3 = T^3 = \mathbb{S}^1 \times \mathbb{S}^1 \times \mathbb{S}^1$$

é chamado 3-toro.

Uma propriedade de \mathbb{E}^3 que nos interessa é que este pode ser folheado por linhas. Okay, vamos relembrar: Uma *folheação* de codimensão r (dimensão $m - r$) de uma variedade \mathbb{M} de dimensão $m - r$ é uma atlas $\mathcal{L} = \{(U_i, \phi_i)\}$ para \mathbb{M} que cumpre:

- a) Para cada carta (U, ϕ) temos $\phi(U) \subset \mathbb{R}^{m-r} \times \mathbb{R}^r$ com $\phi(U) = V^1 \times V^2$, V^1 aberto de \mathbb{R}^{m-r} , V^2 aberto de \mathbb{R}^r .
- b) Para cada par de cartas (U_i, ϕ) e (U_j, ψ) temos que

$$\phi \circ \psi^{-1} : \psi(U_i \cap U_j) \rightarrow \phi(U_i \cap U_j)$$

pode ser escrito com $\phi \circ \psi^{-1}(x, y) = (h^1(x, y), h^2(y))$.

Observe que em cada carta y é constante na segunda coordenada. Podemos assim construir uma família de subvariedades de \mathbb{M} de dimensão $m - r$. Aqui, \mathbb{M} é decomposta em subvariedades de dimensão $m - r$.

Agora, considere $\mathbb{X} = \mathbb{E}^2 \times \mathbb{E}^1$. Temos que o atlas produto define uma folheação de codimensão 1 que com a metrica produto garante que

$$\text{Isom}(\mathbb{X}) = \text{Isom}(\mathbb{E}^2) \times \text{Isom}(\mathbb{E}^1)$$

que é isomorfo ao grupo

$$O(2) \times \mathbb{R}^2 \times O(1) \times \mathbb{R}^1 = E(2) \times E(1).$$

Note que o grupo acima age transitivamente sobre \mathbb{X} preservando a folheação. Ficamos tentados a dizer que $(E(2) \times E(1), \mathbb{X})$ é uma geometria, contudo, $E(2) \times E(1)$ pode ser visto com subgrupo próprio de $E(3)$. Consequentemente, $(E(2) \times E(1), \mathbb{X})$ é uma subgeometria de $(E(3), \mathbb{X})$.

Folheado Euclidiano: Como observamos acima podemos escrever

$$\mathbb{R}^3 = \bigcup_{t \in \mathbb{R}} \mathbb{M}_t \text{ onde } \mathbb{M}_t := \mathbb{R}^2 \times \{t\}.$$

Ou ainda,

$$\mathbb{R}^3 = \bigcup_{z \in \mathbb{R}^2} \mathbb{N}_{(x,y)} \text{ onde } \mathbb{N}_{(x,y)} := \{(x, y)\} \times \mathbb{R}.$$

Observe que para cada ponto $p = (x, y, t)$ em \mathbb{R}^3 temos que

$$T_p \mathbb{R}^3 = T_{(x,y)} \mathbb{M}_t \oplus T_t \mathbb{N}_{(x,y)}.$$

Tome a métrica riemanniana $\langle\langle \cdot, \cdot \rangle\rangle := e^t \langle \cdot, \cdot \rangle$ sobre \mathbb{M}_t onde $\langle \cdot, \cdot \rangle$ é induzida em cada \mathbb{M}_t por \mathbb{E}^2 e tome a métrica $\langle \cdot, \cdot \rangle^1$ sobre $\mathbb{N}_{(x,y)}$ obtida pela restrição da métrica de \mathbb{E}^3 . A variedade \mathbb{R}^3 com a métrica

$$ds^2 = e^t dx + e^t dy + dt$$

é chamada *Folheado euclidiano* e a denotamos por $\mathbb{E}_{\mathcal{F}}^2$.

Poderíamos tomar a métrica da forma $ds^2 = e^{\lambda t} dx + e^{\lambda t} dy + dt$ com $\lambda \neq 0$ e obter uma variedade riemanniana isométrica ao folheado euclidiano.

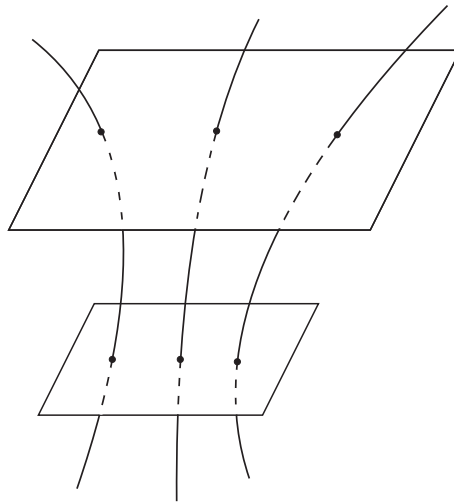


Figura 2

4.2

\mathbb{S}^3

A esfera \mathbb{S}^3 pode se identificada com a componente conexa da identidade do grupo das matrizes unitárias

$$SU(2) = \left\{ \begin{pmatrix} z & w \\ -\bar{w} & \bar{z} \end{pmatrix} \in GL(2, \mathbb{C}); z\bar{z} + w\bar{w} = 1 \right\}.$$

Ao contrário de \mathbb{S}^2 a esfera \mathbb{S}^3 é um grupo de Lie com a multiplicação de matrizes sobre os números complexo. A álgebra de Lie de $U(2)$ tem uma base

$$\xi_1 = \begin{pmatrix} i & 0 \\ 0 & -i \end{pmatrix}, \quad \xi_2 = \begin{pmatrix} 0 & 1 \\ -1 & 0 \end{pmatrix} \quad \text{e} \quad \xi_3 = \begin{pmatrix} 0 & i \\ i & 0 \end{pmatrix}. \quad (4-1)$$

Note que $\xi_1^2 = \xi_2^2 = \xi_3^2 = -\begin{pmatrix} 1 & 0 \\ 0 & 1 \end{pmatrix}$, $[\xi_1, \xi_2] = 2\xi_3$, $[\xi_1, \xi_3] = -2\xi_2$ e $[\xi_2, \xi_3] = 2\xi_1$. Lembre que $SU(2)$ é o recobrimento universal de $SO(3)$. E por isso a álgebra de Lie de \mathbb{S}^3 é $\mathfrak{so}(3)$. Segue que \mathbb{S}^3 é um grupo de Lie simples e unimodular. Por multiplicação à esquerda obtemos três campos vetoriais invariantes à esquerda sobre \mathbb{S}^3 . Fixado um produto interno em $\mathfrak{so}(3)$ podemos obter, por translações à esquerda, uma métrica riemanniana sobre \mathbb{S}^3 . Desse modo, temos que \mathbb{S}^3 é uma variedade riemanniana cuja métrica é invariante por tranlações à esquerda.

Podemos ainda escrever a esfera como espaço homogêneo $\mathbb{S}^3 = SU(2)$ considerando a ação de $U(2)$ sobre \mathbb{C}^2 . E de modo semelhante ao espaço

projetivo real definimos o espaço projetivo complexos

$$PC^{n-1} := \mathbb{S}^{2n-1}/\{I, -I\} = SU(n)/U(n-1).$$

Em particular, $PC^1 = SU(2)/U(1)$. Como $PC^1 = \mathbb{S}^2$ e $U(1) = \mathbb{S}^1$ temos a sequência exata

$$\mathbb{S}^1 \longrightarrow \mathbb{S}^3 \longrightarrow \mathbb{S}^2$$

que forma um fibrado conhecido como *fibrado de Hopf*. Este é preservado pela ação de \mathbb{S}^3 sobre si mesma.

Esferas de Berger: Em 4-1, contudo, dado $\tau > 0$ tome $\sigma_1 = \frac{1}{\tau}\xi_1$, $\sigma_2 := \tau\xi_2$ e $\sigma_3 := \tau\xi_3$. Observe que

$$[\sigma_1, \sigma_2] = \frac{2}{\tau}\sigma_3, \quad [\sigma_1, \sigma_3] = -\frac{2}{\tau}\sigma_2 \text{ e } [\sigma_2, \sigma_3] = \frac{2}{\tau}\sigma_1.$$

Considere os campos invariantes a esquerda obtidos por multiplicação a esquerda. A variedade $SU(2)$ com a métrica riemanniana obtida através desse campo é chamada *esfera de Berger*.

4.3

$\mathbb{S}^2 \times \mathbb{E}$

A variedade $\mathbb{S}^2 \times \mathbb{E}$ é obtida pelo produto de \mathbb{S}^2 e \mathbb{E}^1 com a métrica riemanniana produto. Naturalmente o grupo de isometrias de $\mathbb{S}^2 \times \mathbb{E}$ pode ser identificado com o grupo $G = \text{Isom}(\mathbb{S}^2) \times \text{Isom}(\mathbb{E}^1)$ que é isomorfo à $O(3) \times O(1) \times \mathbb{R}$. Em outras palavras, cada isometria f de $\mathbb{S}^2 \times \mathbb{E}$ pode ser representada pelo par (α, β) onde $\alpha \in O(3)$ e $\beta \in O(1) \times \mathbb{R}$. Logo a componente conexa do grupo de isotropia da ação de G sobre $\mathbb{S}^2 \times \mathbb{E}$ é isomorfa a $SO(2)$.

Seja Γ o grupo gerado por (e, β) onde β é uma translação. Temos que o quociente $\mathbb{S}^2 \times \mathbb{E}/\Gamma$ é isométrico a $\mathbb{S}^2 \times \mathbb{S}^1$. Trocando e pela aplicação antípoda temos $\mathbb{S}^2 \times \mathbb{E}/\Gamma$ que é isométrico a $\mathbb{P}\mathbb{R}^2 \times \mathbb{S}^1$. Esse são duas das sete variedades sem bordo modeladas por $\mathbb{S}^2 \times \mathbb{E}$. E como o leitor deve ter desconfiado essa não é a mais fascinante das geometrias.

4.4

$\mathbb{H}^2 \times \mathbb{E}$

Similar a $\mathbb{S}^2 \times \mathbb{E}$ construímos a variedade $\mathbb{H}^2 \times \mathbb{E}$ como a produto das variedades \mathbb{H}^2 e \mathbb{R} e com a métrica riemanniana produto. O grupo de isometrias de $\mathbb{H}^2 \times \mathbb{E}$ que preserva a métrica riemanniana produto é $G := \text{Isom}(\mathbb{H}^2 \times \mathbb{E}) = \text{Isom}(\mathbb{H}^2) \times \text{Isom}(\mathbb{E}^1)$. Como $\text{Isom}(\mathbb{H}^2)$ e $\text{Isom}(\mathbb{E}^1)$ agem transitivamente sobre \mathbb{H}^2 e \mathbb{E} , respectivamente, segue que $\text{Isom}(\mathbb{H}^2) \times \text{Isom}(\mathbb{E}^1)$

age transitivamente sobre $\mathbb{H}^2 \times \mathbb{E}$. Perceba que $\text{Isom}(\mathbb{H}^2 \times \mathbb{E})$ é isomorfo a $O_+(2, 1) \times O(1) \times \mathbb{R}$. Logo a componente conexa do grupo de isotropia da ação de G sobre $\mathbb{H}^2 \times \mathbb{E}$ é isomorfa a $SO(2)$. Ao contrario de $\mathbb{S}^2 \times \mathbb{E}$ temos várias variedades modeladas por $\mathbb{H}^2 \times \mathbb{E}$ obtidas pelo produto de uma superfície hiperbólica com \mathbb{E}^1 .

Folheado Hiperbólico: Vamos seguir a mesma ideia aplicada no folheado euclidiano. Note que podemos escrever $\mathbb{H}^2 \times \mathbb{E}$ como

$$\mathbb{H}^2 \times \mathbb{E} = \bigcup_{t \in \mathbb{E}} \mathbb{M}_t \text{ onde } \mathbb{M}_t := \mathbb{H}^2 \times \{t\}.$$

Ou ainda,

$$\mathbb{H}^2 \times \mathbb{E} = \bigcup_{(x,y) \in \mathbb{H}^2} \mathbb{N}_{(x,y)} \text{ onde } \mathbb{N}_{(x,y)} := (x, y) \times \mathbb{E}.$$

Observe que, para cada ponto $p = (x, y, t)$ em \mathbb{R}^3 , temos que

$$T_p(\mathbb{H}^2 \times \mathbb{E}) = T_{(x,y)}\mathbb{M}_t \oplus T_t\mathbb{N}_{(x,y)}.$$

Tome a métrica riemanniana $\langle\langle \cdot, \cdot \rangle\rangle := e^t \langle \cdot, \cdot \rangle$ sobre \mathbb{M}_t onde $\langle \cdot, \cdot \rangle$ é induzida em cada \mathbb{M}_t por \mathbb{H}^2 e tome a métrica $\langle \cdot, \cdot \rangle^1$ sobre $\mathbb{N}_{(x,y)}$ obtida pela restrição da métrica de \mathbb{E} . A variedade $\mathbb{H}^2 \times \mathbb{E}$ com a métrica

$$ds^2 = \frac{e^t}{y^2} dx + \frac{e^t}{y^2} dy + dt$$

é chamada *Folheado hiperbólico* e a denotamos por $\mathbb{H}_{\mathcal{F}}^3$.

4.5

$\widetilde{SL_2\mathbb{R}}$

Nessa secção, faremos uma breve apresentação do espaço $\widetilde{SL_2\mathbb{R}}$ e definiremos o Fibrado Simples. O espaço $\widetilde{SL_2\mathbb{R}}$ é o recobrimento universal do grupo de Lie $SL_2\mathbb{R}$ que bem conhecido. De outro lado, o fibrado simples que ainda vamos definir não é conhecido, até onde sei. O Fibrado simples é uma das geometrias que surgem quando retiramos a hipótese do quociente compacto na definição de geometria. Por tudo isso, vamos tentar defini-lo de forma a motivar o caro leitor.

Primeiramente, apresentamos algumas definições importantes que usaremos agora de no decorrer de todo trabalho. Seja \mathbb{M} uma variedade suave tridimensional. Um *campo de planos* sobre \mathbb{M} é uma aplicação, $P : x \mapsto P_x$, que a cada ponto $x \in \mathbb{M}$ da variedade corresponde um plano seccional, P_x ,

isto é, um subespaço vetorial de $T_x\mathbb{M}$ bidimensional. Dado um campo de planos P sobre \mathbb{M} e um ponto x em \mathbb{X} . Dizemos que P é *integrável em p* quando existe uma subvariedade \mathbb{N}_x de \mathbb{M} que passa por x e seu espaço tangente no ponto x seja P_x , ou seja, x pertence à \mathbb{N} e $T_x\mathbb{N} = P_x$. Nesse caso, a subvariedade \mathbb{N} é chamada *variedade integral passando por x* . Naturalmente, dizemos que o campo de planos é *não-integrável em x* quando é não-integrável em x . Quando o campo de planos é integrável em todos os pontos de \mathbb{M} dizemos que o campo de planos é *integrável* ou *totalmente integrável*. Quando o campo de planos é não-integrável em cada ponto de \mathbb{M} dizemos que o campo de planos é *totalmente não-integrável*, nesse caso, dizemos que \mathbb{M} é uma *estrutura de contato*.

O teorema abaixo é uma versão para variedades tridimensional do *Teorema de Frobenius* cuja demonstração pode ser encontrado em [Wa] ou [CaNe].

Teorema 4.1 (Frobenius) *Seja \mathbb{M} uma variedade de dimensão três e seja P um campo de planos sobre \mathbb{M} . O campo de planos P é integrável (totalmente) se, somente se, para cada ponto x em \mathbb{M} um par de campos vetoriais suaves, X e Y , definidos em uma vizinhança de x temos que $[X, Y] \in P$.*

Agora, como vimos no final da secção 3 do capítulo 2 $\widetilde{SL_2\mathbb{R}}$ fibra sobre \mathbb{H}^2 por retas. Considere \mathbb{H}^2 com o modelo do semi-plano superior, olhemos para $\widetilde{SL_2\mathbb{R}}$ como a variedade

$$\{(z, t) \in \mathbb{R}^3; t \in \mathbb{R} \text{ e } z = x + iy \in \mathbb{H}^2\}$$

com a métrica induzida pela projeção das fibras. Naturalmente, a aplicação de projeção das fibras é uma submersão riemanniana. Por outro lado, a álgebra de Lie simples determinada por: $[X, Y] = 2Z$, $[Y, Z] = 2X$, $[Z, X] = 2Y$ onde

$$X = \begin{pmatrix} 0 & 1 \\ -1 & 0 \end{pmatrix}, Y = \begin{pmatrix} 0 & 1 \\ 1 & 0 \end{pmatrix} \text{ e } Z = \begin{pmatrix} 1 & 0 \\ 0 & 1 \end{pmatrix}$$

é a álgebra de Lie do grupo $\widetilde{SL_2\mathbb{R}}$, pois, é a álgebra de Lie de $SL_2\mathbb{R}$. Pelo Teorema de Frobenius o campo de planos gerado pelos campos X e Y é não-integrável. Segue que $\widetilde{SL_2\mathbb{R}}$ é uma estrutura de contato. Isso a distingue de $\mathbb{H}^2 \times \mathbb{E}$.

Em consequência do que vimos na secção 3 do capítulo 3, temos $\widetilde{SL_2\mathbb{R}}$ sobre \mathbb{H}^2 por retas. Contudo, multiplicando a métrica de $\widetilde{SL_2\mathbb{R}}$ por e^t na direção da fibras obtemos uma nova estrutura Riemanniana para $\widetilde{SL_2\mathbb{R}}$. Nesse caso, a projeção das fibras não é uma submersão Riemanniana. Vamos abaixo

esclarecer o que dizemos nesse paragrafo e definir essa nossa candidata à geometria.

Fibrado Simples: Primeiramente, vamos fixar um único ponto em cada fibra. Podemos fazer isso tomando

$$\mathbb{M}_0 := \{(z, 0) \in \mathbb{R}^3; z = x + iy \in \mathbb{H}^2\}.$$

Em seguida, fixamos uma direção para as fibras e multiplicamos a métrica por e^t nessa direção, onde t é a distância do ponto $p = (z, t)$ ao ponto $p_0 := (z, 0)$ em M_0 . Essa variedade Riemanniana que construímos acima é chamada *fibrado simples* denotamos por $SL_{\mathcal{F}}$ que esboçamos abaixo.

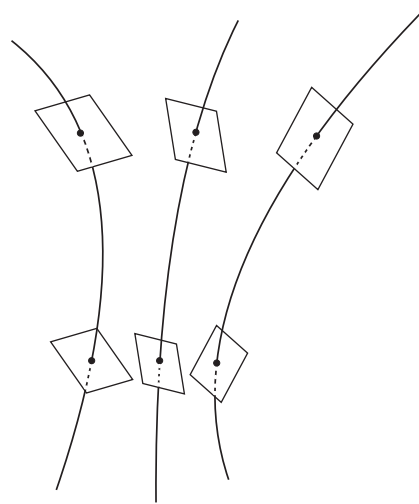


Figura 3

4.6

Nil

O grupo *nilpotente*, Nil, é o grupo de Lie simplesmente conexo determinado pela álgebra de Lie \mathfrak{nil} gerada por

$$[X, Y] = Z, [Z, X] = 0, [Z, Y] = 0.$$

O grupo nilpotente também conhecido como grupo de *Heisenberg*. O grupo nilpotente é um subgrupo de $GL(3, \mathbb{R})$ como vemos abaixo. Seja

$$X = \begin{pmatrix} 0 & 1 & 0 \\ 0 & 0 & 0 \\ 0 & 0 & 0 \end{pmatrix}, Y = \begin{pmatrix} 0 & 0 & 0 \\ 0 & 0 & 1 \\ 0 & 0 & 0 \end{pmatrix}, \text{ e } Z = \begin{pmatrix} 0 & 0 & 1 \\ 0 & 0 & 0 \\ 0 & 0 & 0 \end{pmatrix}$$

uma base para álgebra de Lie;

$$\mathfrak{nil} = \left\{ \begin{pmatrix} 0 & x & z \\ 0 & 0 & y \\ 0 & 0 & 0 \end{pmatrix}; x, y, z \in \mathbb{R} \right\}$$

do grupo de Lie

$$\mathbb{N}il = \left\{ \begin{pmatrix} 1 & x & z \\ 0 & 1 & y \\ 0 & 0 & 1 \end{pmatrix}; x, y, z \in \mathbb{R} \right\}.$$

De modo semelhante a $\widetilde{SL_2\mathbb{R}}$, temos que $\mathbb{N}il$ fibra sobre \mathbb{E}^2 com fibra \mathbb{E}^1 . E podemos construir o *Fibrado nilpotente* de modo inteiramente análogo.

4.7

$\mathbb{S}ol$

O grupo de Lie simplesmente conexo $\mathbb{S}ol$ é determinado pela álgebra de Lie \mathfrak{sol} , $[X, Y] = 0$, $[Z, X] = X$, $[Z, Y] = -Y$. Mais explicitamente,

$$X = \begin{pmatrix} 0 & 0 & 1 \\ 0 & 0 & 0 \\ 0 & 0 & 0 \end{pmatrix}, Y = \begin{pmatrix} 0 & 0 & 0 \\ 0 & 0 & 1 \\ 0 & 0 & 0 \end{pmatrix}, \text{ e } Z = \begin{pmatrix} 1 & 0 & 0 \\ 0 & -1 & 0 \\ 0 & 0 & 0 \end{pmatrix}$$

com $\mathfrak{sol} = \mathfrak{D} \times \mathbb{R}^2$ onde $\mathfrak{D} := \left\{ \begin{pmatrix} t & 0 \\ 0 & -t \end{pmatrix}; t \in \mathbb{R} \right\}$. E assim $\mathbb{S}ol = D \times \mathbb{R}^2$ onde

$$D := \left\{ \begin{pmatrix} e^t & 0 \\ 0 & e^{-t} \end{pmatrix}; t \in \mathbb{R} \right\}.$$

Podemos identificar $\mathbb{S}ol$ com o grupo formado pelas matrizes da forma

$$\left\{ \begin{pmatrix} e^t & 0 & x \\ 0 & e^{-t} & y \\ 0 & 0 & 1 \end{pmatrix}; t, x, y \in \mathbb{R} \right\}.$$

O grupo $\mathbb{S}ol$ age sobre si mesmo com uma multiplicação à esquerda. Essa ação é claramente transitiva e livre. Assim, a ação tem grupo de isotropia trivial. Como não admite uma métrica invariante à esquerda com grupo de isotropia não trivial por [HaLe], temos que $\mathbb{S}ol$ é uma geometria.